

九州大学工学部 正 平野宗夫  
 九州大学工学部 正 羽田野賀義  
 九州大学大学院 学。赤司溥也

### 1. まえがき

山地崩壊などにより生じた高濃度の泥流がダム湖に流入すると、泥水密度流が発生する。泥水密度流はこのほか、土石流の海中への突入や海底地震などによってしばしば発生することが知られている。前報では室内実験により一様な勾配の斜面に沿って流動する泥水密度流についてその先端部の性状を調べ、その結果を報告した。

本研究は、底面勾配が途中で変化する場合について塩水を用いた室内実験を行ない、先端部の運動について考察を加えたものである。

### 2. 実験およびその結果

#### (1) 実験装置および方法

実験に用いた水路は図-1に示すような幅0.2m、全長約4mの2次元水路で、上流から1.5m(水平距離)までは底面勾配が

0.206、それより下流では水平な底面になつており、下流端には越

瀬せきが設置してある。実験はこの水槽に水道水を満たしておき、上流から所定の流量で既知濃度の着色塩水を供給して擬似泥水密度流を発生させてその先端部の運動をV.T.R.で撮影した。また、先端部が水平底面の区間に達し、水平底面に

沿う流動が落ち着いたとみられる地図で先端部の密度分布を瞬間採水によって測定した。なお、密度は電導度を測定して塩分濃度に換算して求めた。

#### (2) 実験結果

##### (a) 流況および先端部の厚さ

先端部の移動状況を示したのが図-2である。それによると先端が傾斜面を流動する場合は前報と同様に先端部はふくらみを増しながら流下し、勾配急激変で形状を若干変えたのち、水平底面に沿って流動し始める。また先端部ふくらみの最大厚さを $d_{max}$ とし、最先端の位置 $x$ とその時の $d_{max}$ とをプロットしたのが図-3である。それによると、水平底面に沿って流動する場合は斜面を流下する場合と異なり、先端部ふくらみ厚さの増大がみとめられず、ほぼ同一の形状を保ちながら進行するようである。

(b) 密度分布 先端部が水平な底面に沿って流動する際の密度分布を測定した結果の一例を図-4に示す。なお、図には先端部の形状と採水位置が示されている。それによると、密度差の大きいものの様な分布からはずれるようである。

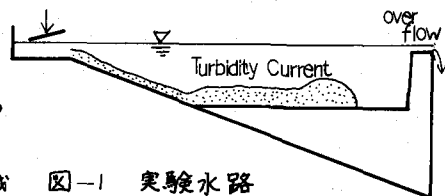


図-1 実験水路

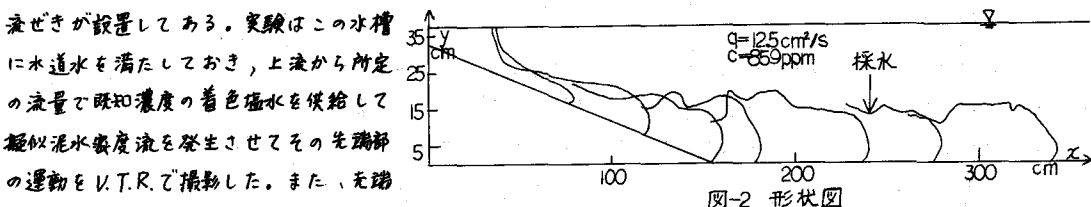


図-2 形状図

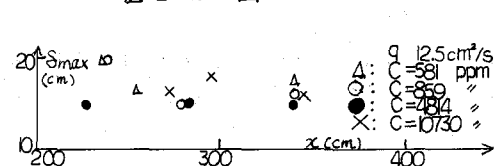
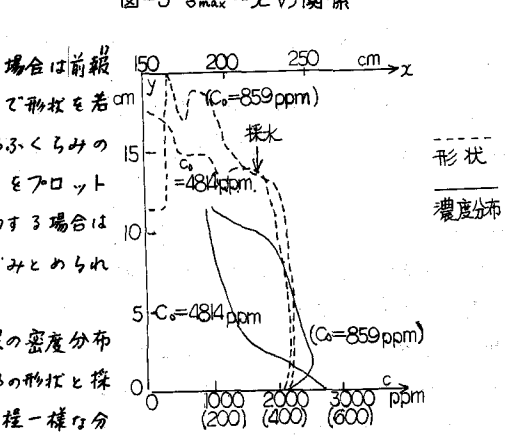
図-3  $d_{max}-x$  の関係

図-4 密度分布

### 3. 理論的考察

泥水密度流先端部の流れを図-5に示すようなモデルで考える。  
因の斜線部に連続式、質量保存則および近似的な運動方程式を考え  
るとそれぞれ式(1)、(2)および(3)を得る。

$$\frac{\partial u}{\partial t} + \frac{\partial u}{\partial x} = g_e - \frac{g_e}{x} \quad (1)$$

$$\frac{\partial p}{\partial t} + \frac{\partial p}{\partial x} = -\frac{4\rho g_e}{\rho} \quad (2)$$

$$\int_0^y \left( \frac{\partial u}{\partial t} + \frac{\partial u}{\partial x} + \frac{\partial u}{\partial y} \right) dy = \Delta \rho g_e \sin \theta$$

$$-g \cos \theta \frac{\partial}{\partial x} \left( \frac{1}{2} \Delta \rho g_e^2 \right) + T_i - T_b \quad (3)$$

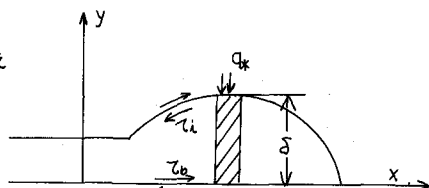


図-5 モデル図

ここに、 $\delta$  は泥水流の厚さ、 $g_e$  は泥水流の単位幅流量、  
 $\Delta \rho$  は泥水と清水の密度差の断面平均、 $T_i$  は連行速度  
で連行係数  $E$  を用いて  $T_i = E \bar{U}$ 、 $T_b$  および  $T_b$  はそれぞ  
れ界面および底面における抵抗で抵抗係数  $f$  を用いて  
 $T_b = -f \cdot \rho \bar{U}^2$  とおく。但し、 $\bar{U}$  は泥水流の断面平均流速である。

運動量補正係数を 1.0 として式(3)を若干変形したのち、 $\partial(\Delta \rho g_e^2)/\partial x = 24 \rho f \cdot \Delta \rho^2 / \rho x$  と見て特性曲線  $dU/dt = \bar{U}$  上で考えると、 $k = U(t)/\bar{U}$  を用いて。

$$\frac{d\bar{U}}{dx} + \frac{2}{\rho} \left\{ E(1-k) + f \right\} \bar{U} = \frac{24 \rho}{\rho} g \left( \sin \theta - \frac{\partial \theta}{\partial x} \cos \theta \right) \quad (4)$$

以下、先端部が水平な底面上を流动する場合について考える。この場合、式中の  $\theta$  は  $\theta=0$  となる。さらに、先端はほぼ同一の形状を保ちながら進行するので、先端部の頂点を含む断面と最先端の速度は等しくなり、速度については頂点を含む断面で考えればよいことになる。また、特性曲線  $dU/dt = \bar{U}$  上で  $\delta$  を考えると、

$$\frac{df}{dx} = E - \frac{\partial}{\partial x} \frac{\partial \bar{U}}{\partial x} = 0 \quad \therefore E = \frac{\partial}{\partial x} \frac{\partial \bar{U}}{\partial x} \quad (5)$$

今、 $E=0$  とおくと  $\bar{U}$  は  $x$  のみの函数である。そのような場合について考え、 $X = x/l_0$ 、 $U = \bar{U}/\bar{U}_0$  および  $F_0 = \bar{U}_0/\sqrt{2g_0 l_0}$  (添字 0 は先端が基準変化にあらざる時の値) を用い、さらに頂点付近では  $\partial \theta / \partial x = 0$  という二つを考慮して式(4)を変形すれば次式(6)が求まり、 $f = \text{const.}$  として式(6)を積分すれば式(7)が得られる。

$$\frac{dU^2}{dx} + 2fU^2 = 0 \quad (6) \quad U^2 = e^{-2fx} \quad (7)$$

式(6)の適合性をみるために  $f=0.005$ 、 $0.01$  および  $0.02$  の場合を計算し、実験値とともにプロットしたのが図-6である。図より、実験値・計算値ともに漸減の傾向を示し、両者は良く一致していることがわかる。

### 4. 結び

以上を要約すると、勾配急変を通過する泥水密度流先端部は、この程度の勾配変化ではその前後で移動速度とふくらみ厚さがさほど変化しないことがわかった。また、先端部が斜面を流下する場合と水平底面に沿って流动する場合とは、ふくらみの発達のしかたが全く異なっており、先端部の発達のしかたは勾配によって変化することが予想される。今後、勾配を色々変化させて先端の発達率を調べ、勾配が連續的に変化する所を流下する泥水密度流の流动に結びつけるもせりである。最後に本研究にあたり実験およびデータ整理に熱心に協力してくれた梅尾信之君に謝意を表します。

《参考文献》 1) 平野・羽田野・赤司; キ33回土木学会年譲, 1978, p395

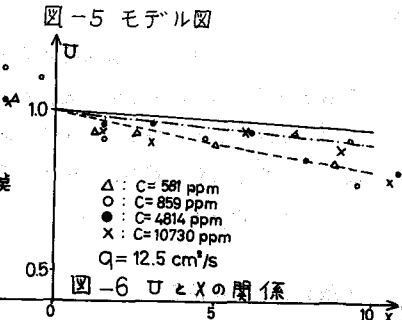


図-6 U と X の関係